

#### (4) 構造材料の配分最適化手法と最適な補強構造

STRUCTURAL REINFORCEMENT OPTIMIZATION USING  
A MATERIAL DISTRIBUTION APPROACH

佐々木 康彦\*  
Yasuhiko SASAKI

This paper describes a material distribution approach, based on the use of an artificial composite material with microscale voids, for solving shape and topology optimization problems of reinforcement structures. This new approach consists of computing effective material properties of the composite material and searching an optimal distribution of the material by the optimality criteria method. The optimal reinforcement structure which supports a main structure is examined and the applicability of the present approach to structural reinforcement optimization problems is verified through the computational results.

Key Words: shape and topology optimization, structural reinforcement, finite element approximation, optimality criteria method

#### 1. まえがき

連続体の形状あるいは位相(トポロジー)を含めた形態の最適化問題は、構造物や機械の設計に関連した重要な問題の一つであり、その最適化手法は多くの設計者の関心を集めている。最近では、菊地らが均質化法を用いて、位相を含めた形態最適化問題(レイアウト最適化問題)を材料の分布あるいは配分の最適化問題に置き換える手法を提案している<sup>1), 2)</sup>。

本研究ではこのような構造材料の配分最適化手法を応用して、「主体構造(主要な構造要素)」の周辺空間における“最適な補強構造”的生成・抽出を試みた。この最適化問題では、均質化法に準じて周期性をもつ多孔質状の微細構造を仮定し、孔のサイズおよび単位構造の回転角を設計変数とする。体積比制約のもとで平均コンプライアンスを目的関数に選び、最適性規準法<sup>3)</sup>に基づいて補強構造のレイアウト最適化に関する基礎的な数値解析を行った。

---

\*工博 北海道大学助手 工学部土木工学科 (〒060 札幌市北区北13条西8丁目)

## 2. 構造材料の微細構造

均質化法では、図1に示すように周期性をもつ多孔質状の微細構造を仮定し、さらにその構成要素として単位微細構造(ユニットセル)を考える。すなわち、レイアウトする領域を「設計領域」と呼ぶと、そこに微小な長方形孔を無数に開けることで“多孔質体”を形成し、その微細構造を定義するユニットセルの孔の大きさを変化させることで多孔質の度合いを決める。また相対的な孔の大きさだけでなくユニットセルを最適な方向に回転させることにより、非常に自由度の大きい多孔質を作り出すことができる。そして、設計領域における任意点での微細構造を決定する長方形孔の正規化した寸法  $a$ ,  $b$  およびユニットセルの回転角  $\theta$  が設計変数となる。

## 3. 材料の配分最適化手法

### 3.1 配分最適化問題の設定

この最適化問題では設計領域における「平均コンプレインス」を目的関数に選び、その最小化をめざす。これは、構造剛性の最大化を意味する。また、設計領域に全く孔の開いていない状態に対する使用可能な材料の「体積比」を制約条件とする。

### 3.2 最適化問題の解法プロセス

構造材料の配分最適化に際して、最初に設計領域を有限要素法で離散化する。この配分最適化問題の解法プロセスの概要を図2に示す。

以下では2次元弾性問題を考える。設計領域における構造材料の均質化した弾性定数  $E_{ijkl}^G$  の算定について、均質化法では理論解析および補間多项式を用いた方法によっている。最終的に必要な均質化弾性定数  $E_{ijkl}^H$  は、この弾性定数  $E_{ijkl}^H$  を角度  $\theta$ だけ回転させたもので、座標変換マトリックス  $R_{ij}(θ)$  を用いて、次式から算定する。

$$E_{ijkl}^G = \sum_{I,J,K,L=1}^2 E_{ijkl}^H(a, b) R_{ii}(\theta) R_{jj}(\theta) R_{kk}(\theta) R_{ll}(\theta) \quad (1)$$

本研究では簡単のために、ユニットセルの回転前の均質化した弾性定数  $E_{ijkl}^H$  は、次のような近似式を用いた。

$$E_{ijkl}^H = (1-a)(1-b) E_{ijkl} \quad (2)$$

ここで、  $E_{ijkl}$  は等方性材料とした多孔質体の実質部分の弾性定数である。

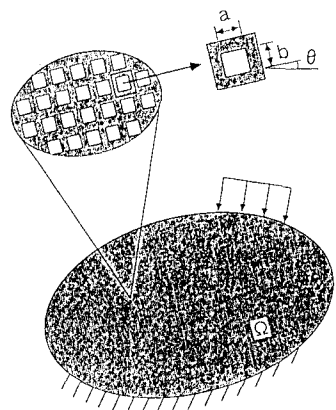


図1 設計領域における  
微細構造と設計変数

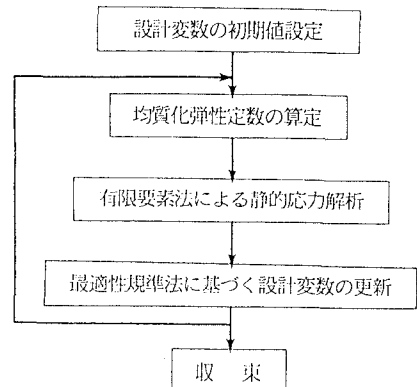


図2 配分最適化問題の  
解法プロセス

### 3.3 最適性規準法に基づく設計変数の更新

本研究で設定した配分最適化問題は、平均コンプライアンスを表す目的関数と使用材料の体積比を与える制約条件およびラグランジュの未定乗数から構成される「ラグランジュ関数」によって定式化される。さらに、最適性規準法を適用して、このラグランジュ関数の停留値を「最適性規準」とする。そして、この最適性規準を満足するような以下に示す漸化式に基づいて、設計変数およびラグランジュ乗数を更新しながら、最適化過程の反復計算を進める。

$$a^{(k)} = \text{Min} \left\{ \text{Max} \left\{ 0, \left( \frac{-2\lambda^{(k-1)} b^{(k-1)}}{\sum_{i,j,k,l=1}^2 \frac{\partial E_{ijkl}^{G(k)}}{\partial a} \frac{\partial u_k^{(k)}}{\partial x_l} \frac{\partial u_i^{(k)}}{\partial x_j}} \right)^{\rho_a} \times a^{(k-1)} \right\}, 1 \right\} \quad (3)$$

$$b^{(k)} = \text{Min} \left\{ \text{Max} \left\{ 0, \left( \frac{-2\lambda^{(k-1)} a^{(k)}}{\sum_{i,j,k,l=1}^2 \frac{\partial E_{ijkl}^{G(k)}}{\partial b} \frac{\partial u_k^{(k)}}{\partial x_l} \frac{\partial u_i^{(k)}}{\partial x_j}} \right)^{\rho_b} \times b^{(k-1)} \right\}, 1 \right\} \quad (4)$$

$$\theta^{(k)} = \theta^{(k-1)} - \rho_\theta \times \frac{1}{2} \sum_{i,j,k,l=1}^2 \frac{\partial E_{ijkl}^{G(k)}}{\partial \theta} \frac{\partial u_k^{(k)}}{\partial x_l} \frac{\partial u_i^{(k)}}{\partial x_j} \quad (5)$$

$$\lambda^{(k)} = \left( \frac{\int_{\Omega_d} (1-a^{(k)} b^{(k)}) d\Omega}{\Omega_s} \right)^{\rho_\lambda} \times \lambda^{(k-1)} \quad (6)$$

ここで、 $u_i$ は構造変位、 $\Omega_s$ は使用可能な材料の体積、 $\rho_a$ ,  $\rho_b$ ,  $\rho_\theta$ ,  $\rho_\lambda$ は収束性に関するパラメータを表す。

### 4. 数値解析例

数値解析モデルとしては、図3に示すように主体構造である先端に集中荷重を担う「片持ち梁」およびその上部空間に最適な補強構造を探るための領域を設定したものである。設計領域には片持ち梁部分も含めるが、最適化過程では全く孔の開かない固体領域とするため、多孔質領域は上部補強空間だけである。

設計領域の寸法は縦40cm、横60cm、厚さ2cm、要素分割数は縦12×横18である。また、実質部分の材料は等方性とし、その弾性係数 $E = 2.1 \times 10^5 \text{ kgf/cm}^2$ 、ポアソン比 $\nu = 0.3$ とした。先端荷重は下向きに $P = 100 \text{ kgf}$ である。使用材料の体積比の制約条件に関しては、多孔質領域での体積比を40%および60%とし、体積比の相違による補強構造の比較検討を行った。なお、各有限要素の設計変数である長方形孔の寸法 $a$ ,  $b$ の初期値については、最適化の収束を早めるために前述の規定した体積比に一致するような値を全要素に設定した。

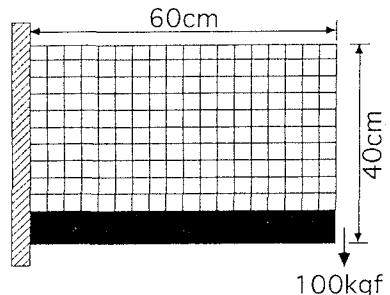


図3 数値解析モデルの概要

図4に最適化過程における体積比の推移と平均コンプライアンスの収束状況を示す。これらの結果から体積比40%および60%いずれの場合も、体積比がほぼアクティブな制約条件として作用すること、平均コンプライアンスの数値が漸次単調減少しながら材料配分の最適化が進行していくことがわかる。

先端に集中荷重を担う片持ち梁の補強構造に関する最適化結果を図5(a), (b)に示す。これらの結果は、各要素での長方形孔の寸法から算定する正規化した無次元密度

$$\rho = 1 \cdot (1 - a b) \quad (7)$$

を五段階の濃淡で表示したものである。

(a) 体積比40%の場合は、片持ち梁の先端と固定壁上部とを連結する直線上に材料が帯状に配分されることがわかる。これに対して、(b) 体積比60%の場合は使用材料に余裕があるため、前述の補強構造をさらに強化するとともに、片持ち梁の固定端付近を支持する新たな構造が発生していることが特徴的である。

## 5. あとがき

今後は、構造材料の均質化弾性定数の算定に均質化法を適用するとともに、最適化過程の収束性を早め、精度を高めるために設計変数の漸化式を工夫改良する予定である。さらには、配分最適化手法による種々の数値解析事例に基づいて、最適な補強構造の形態に関する評価方法についても研究を進めたい。

## 参考文献

- 1) Bendsøe, M.P. and N. Kikuchi, Generating optimal topologies in structural design using a homogenization method, Computer Methods in Applied Mechanics and Engineering, 71(1988), 197-224.
- 2) Suzuki, K. and N. Kikuchi, A homogenization method for shape and topology optimization, Computer Methods in Applied Mechanics and Engineering, 93(1991), 291-318.
- 3) Venkayya, V.B., Optimality criteria: a basis for multidisciplinary design optimization, Computational Mechanics, 5(1989), 1-21.

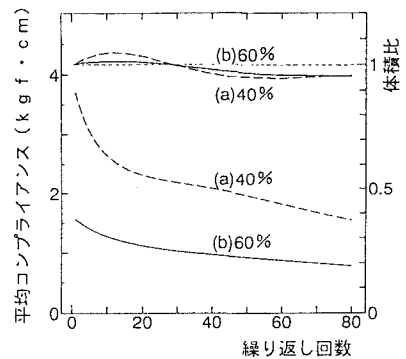


図4 体積比の推移と平均コンプライアンスの収束状況

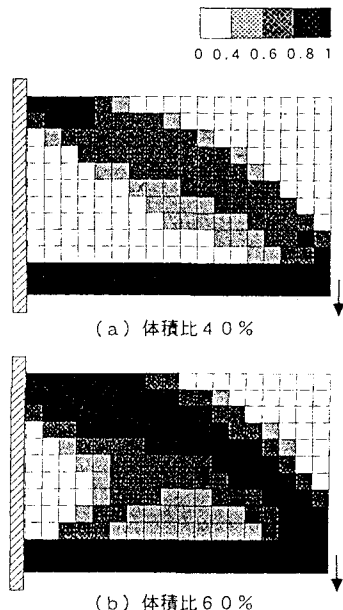


図5 片持ち梁と最適な補強構造